

# Моделирование процессов перемагничивания ограниченных ферромагнетиков, содержащих дефекты

© Р.М. Вахитов, Е.Р. Гареева, М.М. Вахитова, А.Р. Юмагузин

Башкирский государственный университет,  
Уфа, Россия

E-mail: VakhitovRM@yahoo.com

(Поступила в Редакцию 28 августа 2008 г.  
В окончательной редакции 15 января 2009 г.)

Теоретически исследуются процессы намагничивания и перемагничивания кубических ферромагнетиков ограниченных размеров, обусловленных механизмом некогерентного вращения магнитных моментов. Установлено, что приемлемым модельным представлением магнитных неоднородностей, возникающих в области дефектов, являются  $0^\circ$  доменные границы. Определено влияние внешнего магнитного поля на их структуру и область устойчивости, что позволило выявить характерные особенности перемагничивания реальных кристаллов в зависимости от параметров материала и дефекта, и, в частности, в окрестности спин-переориентационного фазового перехода.

PACS: 75.30.Kz, 75.60.Ch, 75.60.Jk

В процессах технического намагничивания реальных кристаллов важную роль играют магнитные неоднородности, закрепляющиеся на различного рода дефектах [1]. Подстраиваясь под профиль дефекта, они искажают в данной области доменную структуру, характерную для всего образца. Это в свою очередь служит надежным индикатором присутствия дефектов в материале. Свойства этих неоднородностей практически не изучены, хотя имеет место определенное понимание их роли в процессах спиновой переориентации магнетика из одного состояния в другое [2,3]. В частности, теоретический анализ возможных магнитных неоднородностей, зарождающихся в области дефектов, показал [3,4], что их свойства в достаточной степени адекватно можно описать с помощью распределения намагниченности, соответствующего  $0^\circ$  доменной границе ( $0^\circ$ ДГ). Результаты, полученные при моделировании процессов зародышеобразования при спин-переориентационном фазовом переходе (СПФП), качественно согласуются с экспериментальными данными [2], что позволяет применить данное приближение для описания процессов намагничивания и перемагничивания ограниченных магнетиков, содержащих дефекты.

Исследуем структуру и устойчивость магнитных неоднородностей, локализованных в области дефекта, под действием внешнего поля **H** на примере кубического ферромагнетика, взятого в виде пластины конечной толщины  $D$ , в которой имеет место и наведенная (вдоль [011]) одноосная анизотропия (пластина (011)). Такая ситуация с наличием в магнитных материалах комбинированной анизотропии является достаточно распространенной и встречается в эпитаксиально выращенных пленках ферритов-гранатов, в некоторых интерметаллических соединениях, при освещении магнитных полупроводников типа  $\text{CdCr}_2\text{Se}_4$ , при холодной прокатке железа и т.д. [1,5,6]. Энергию магнитных неоднородностей пластины (011) в идеализированной модели рассмотрим с учетом обменного взаимодействия (ха-

рактеризующегося обменным параметром  $A$ ) наведенной одноосной ( $K_u$ ), кубической ( $K_1$ ) и ромбической ( $K_r$ ) анизотропий, размагничивающих полей объемных зарядов, локализованных в ДГ, и внешнего поля **H**, т.е. в виде [4]

$$E_0 = L_x D \int_{-\infty}^{\infty} \left\{ A \left[ (\theta')^2 + \sin^2 \theta (\varphi')^2 \right] + K_u \sin^2 \theta \right. \\ \left. + K_r \sin^2 \theta \sin^2(\varphi - \psi) + \frac{K_1}{4} [2 \sin^2 \theta (1 - 3 \sin^2(\varphi - \psi)) \right. \\ \left. - \sin^4 \theta (3 - 10 \sin^2(\varphi - \psi) + 3 \sin^4(\varphi - \psi))] \right. \\ \left. - \mathbf{H} \mathbf{M} + 2\pi M_s^2 (\sin \theta \sin \varphi - \sin \theta_m \sin \varphi_m)^2 \right\} dy \quad (1)$$

где  $\theta$  и  $\varphi$  — полярный и азимутальный углы вектора намагниченности **M**,  $\theta'$  и  $\varphi'$  — их производные по  $y$ ,  $\theta_m$ ,  $\varphi_m$  — значение этих углов в доменах (при  $y \rightarrow \pm\infty$ ),  $M_s$  — намагниченность насыщения,  $L_x$  — размер пластины вдоль оси  $0x$  ( $L_x \rightarrow \infty$ ). Здесь система координат выбрана так, что ось  $0z \parallel [011]$ , а ось  $0x$  лежит в плоскости ДГ и составляет угол  $\psi$  с осью [100]. Кроме того, предполагая пластину достаточно толстой, пренебрегаем влиянием размагничивающих полей поверхностных зарядов.

Из анализа уравнений Эйлера–Лагранжа, отвечающих (1), следует [4], что в отсутствие поля в области  $K_u > 0$ , ограниченной линиями  $\varkappa_1 = 1$ ,  $\varkappa_1 = 4$ ,  $\varkappa_1 = 1 + \varkappa_r$ , ( $\varkappa_1 = K_1/|K_u|$ ,  $\varkappa_r = K_r/|K_u|$ ), возможны решения вида

$$\operatorname{tg} \theta = \pm a \operatorname{ch}(b\xi), \quad \varphi = 0, \pi, \quad \psi = 0, \pi,$$

$$a = ((4 - \varkappa_1)/4(\varkappa_1 - 1))^{1/2}, \quad b = (\varkappa_1 - 1)^{1/2}, \quad (2)$$

которым соответствуют магнитные неоднородности со структурой  $0^\circ$ ДГ блоховского типа. Они разделяют

два домена с одинаковым направлением вектора  $\mathbf{M}_0$  в них ( $\mathbf{M}_0 \parallel [100]$ ) и образуются в области значений параметров  $\chi_1$  и  $\chi_r$ , где магнитная фаза с  $\mathbf{M}_0 \parallel [100]$  является метастабильной, а фаза с  $\mathbf{M}_0 \parallel [011]$  — устойчивой. Согласно расчетам [4], между данными фазами на линии  $\chi_1 = 4$  ( $\chi_r > 3$ ) имеет место СПФП I рода: в области, расположенной выше этой линии, магнитная фаза с  $\mathbf{M}_0 \parallel [011]$  становится метастабильной, а с  $\mathbf{M}_0 \parallel [100]$  — устойчивой. В этой области уравнения Эйлера–Лагранжа также допускают решения, аналогичные (2), а именно

$$\begin{aligned} \operatorname{tg} \theta &= \pm [a'' \operatorname{ch}(b'' \xi)]^{-1} \quad \varphi = 0, \pi, \psi = 0, \pi, \\ a'' &= [(\chi_1 - 4)/2(2 + \chi_1)]^{1/2}, \quad b'' = (1 + \chi_1/2)^{1/2}. \end{aligned} \quad (3)$$

Им соответствуют блоховские  $0^\circ\text{ДГ}$  с  $\mathbf{M}_0 \parallel [011]$  в доменах. Оба вида  $0^\circ\text{ДГ}$  по своей природе (по структуре и условиям возникновения) представляют собой зародыши новой фазы, возникающие по разные стороны от линии СПФП. В этом смысле они дают полную картину спиновой переориентации магнетика, составляя суть флуктуационного механизма зародышебразования [3,7].

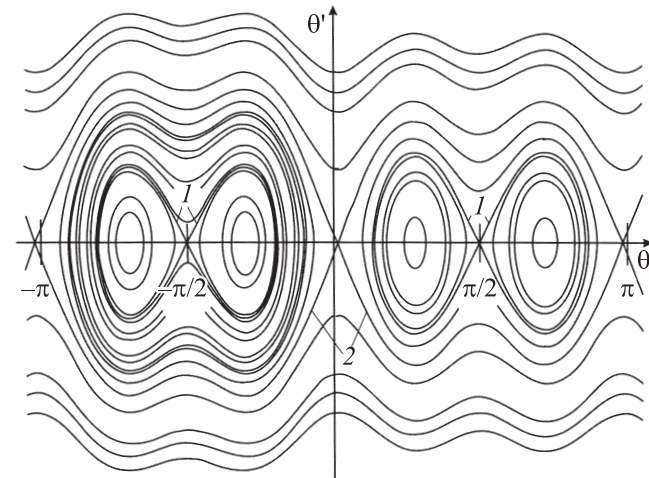
Они неустойчивы в идеализированной модели [3,4,8], однако при учете наличия дефектов и конечности пластины  $0^\circ\text{ДГ}$  становятся устойчивыми образованиями [3,4].

В ненулевом поле решения уравнений Эйлера–Лагранжа не удается получить через известные функции. Однако анализ фазового портрета этих уравнений для случая  $\varphi = 0, \pi$  показывает, что существуют фазовые траектории (рис. 1, сепаратрисы 1) в виде замкнутых петель, которым соответствуют  $0^\circ\text{ДГ}$  со структурой, аналогичной (2) или (3). Это дает основание исследовать процесс перемагничивания реальных кристаллов, обусловленных механизмом некогерентного вращения магнитных моментов [8]. В основу модельного представления доменов обратной намагниченности, закрепляющихся на дефектах и играющих решающую роль в этих процессах, положен вариационный метод [3,4], в котором в качестве распределения намагниченности в кристалле берется закон изменения  $\mathbf{M}$  вида (2) или (3), где  $a = \{a', a''\}$  и  $b = \{b', b''\}$  считаются вариационными параметрами задачи.

Для определения устойчивых состояний  $0^\circ\text{ДГ}$  в магнитном поле необходимо учесть влияние размагничивающих полей от поверхностных зарядов пластины, вклад которых в (1) для  $0^\circ\text{ДГ}$  блоховского типа ( $\varphi = 0, \pi$ ) определяется слагаемым

$$E_{ms} = M_s^2 L_x \int_{-\infty}^{\infty} \int_{-\infty}^{\infty} f(y, y') dy dy',$$

$$f(y, y') = [\cos \theta(y) \cos \theta(y') - \cos^2 \theta_m] \ln \left( 1 + \frac{D^2}{(y - y')^2} \right). \quad (4)$$



**Рис. 1.** Фазовый портрет уравнений Эйлера–Лагранжа для случая  $\chi_1 = 2.3$ ,  $\chi_r = 2$ ,  $h = 0.2$  ( $\mathbf{H} \parallel [100]$ ). Сепаратрисы 1 соответствуют  $0^\circ\text{ДГ}$ , 2 —  $180^\circ\text{ДГ}$ .

Другой фактор — наличие дефектов в кристалле — учтем с помощью зависимости материальных параметров образца  $R = \{A, K_u, K_r, K_1, M_s\}$  от координаты  $y$  в виде (пластиначатое магнитное включение)

$$R(y) = \begin{cases} R, & |y| \geq L/2, \\ R + \Delta R, & |y| \leq L/2, \end{cases} \quad (5)$$

где  $L$  — размер дефекта,  $\Delta R = \{\Delta A, \Delta K_u, \Delta K_r, \Delta K_1, \Delta M_s\}$  — величина скачка параметра  $R$  в области дефекта. Следует отметить, что возникновение подобных дефектов в кристалле обусловлено разными причинами, в частности наличием пор, трещин, дислокаций, остаточных напряжений, немагнитных включений либо магнитных включений другой фазы и т. д. [9].

С учетом изложенного полная энергия рассматриваемой задачи будет иметь вид

$$E = E_0 + E_{ms} + E_d, \quad (6)$$

где  $E_d$  — энергия дефекта, которая для  $0^\circ\text{ДГ}$ , описываемой распределением намагниченности вида (2) ( $0^\circ\text{ДГ}$  (I)), определяется выражением

$$\begin{aligned} E_d &= L_x D \int_{-L/2}^{L/2} \left\{ \Delta A(\theta')^2 \right. \\ &\quad \left. + \left[ \Delta K_u + \Delta K_r \sin^2 \psi + \frac{1}{2} \Delta K_1 (1 - 3 \sin^2 \psi) \right] \sin^2 \theta \right. \\ &\quad \left. - \frac{\Delta K_1}{4} (3 - 10 \sin^2 \psi + 3 \sin^4 \psi) \sin^4 \theta - H \Delta M_s \sin \theta \right. \\ &\quad \left. + \frac{2 \Delta M_s M_s}{D} \int_{-\infty}^{\infty} f(y, y') dy' + \frac{\Delta M_s^2}{D} \int_{-L/2}^{L/2} f(y, y') dy' \right\} dy. \end{aligned} \quad (7)$$

В случае  $0^\circ\text{ДГ}$ , задаваемой законом изменения  $\mathbf{M}$  вида (3) ( $0^\circ\text{ДГ(II)}$ ), необходимо в формуле (7) заменить зеемановское слагаемое на выражение  $(-\bar{H}\Delta M_s \cos \theta)$ .

Соответствующая вариационная задача по определению структуры и области устойчивости обоих видов  $0^\circ\text{ДГ}$  решается путем численной минимизации функционала (6) (точнее приведенной энергии  $\varepsilon_s = E/(K_u L_x D \Delta_0)$ ) относительно параметров  $a, b$ . Данный подход, как показано в [3], является приемлемым при выполнении условий:  $D \gg \Delta_0$ ,  $Q > 1$ , где  $Q = K_u/2\pi M_s^2$  — фактор качества материала.

Очевидно, что устойчивые состояния  $0^\circ\text{ДГ}$  можно найти, зная параметры, характеризующие их, а именно энергию  $\varepsilon_s$ , амплитуду  $\theta_s$  (максимальный угол отклонения вектора  $\mathbf{M}$  от его равновесного направления в доменах) и ширину  $\Delta_s$ . Последние два параметра, определяющие размеры  $0^\circ\text{ДГ}$ , находятся из формул

$$\theta_s = \left| \frac{\pi}{2} - \arctg(a') \right|,$$

$$\Delta_s = \frac{2\Delta_0}{b'} \left[ \left( \pi - 2 \arctg \sqrt{1 + 2(a')^2} \right) \sqrt{1 + (a')^2} + \ln \frac{\sqrt{1 + 2(a')^2} + \sqrt{1 + (a')^2}}{a'} \right] \quad (8)$$

для  $0^\circ\text{ДГ (I)}$ ,

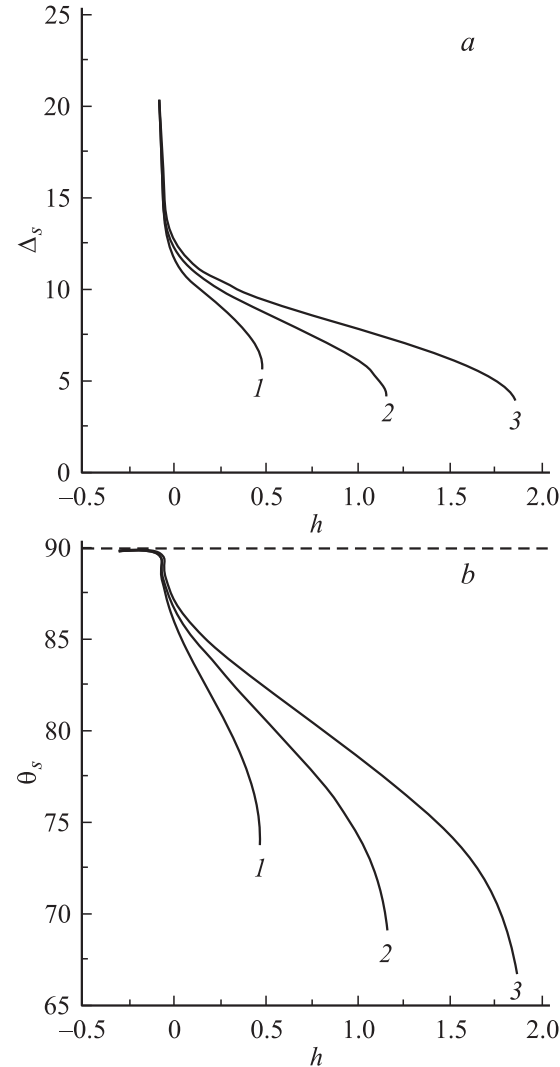
$$\begin{aligned} \theta_s &= \arctg \left( \frac{1}{a''} \right), \\ \Delta_s &= \frac{2\Delta_0}{b''} \left[ \ln \frac{\sqrt{1 + 2a''^2} + \sqrt{1 + a''^2}}{a''} - 2 \arctg \left( \frac{1}{\sqrt{1 + 2a''^2}} \right) \right] \end{aligned} \quad (9)$$

для  $0^\circ\text{ДГ (II)}$ .

Результаты численной минимизации величины  $\varepsilon_s$  представлены на рис. 2–6, где все величины, имеющие размерность длины, приведены к  $\Delta_0$ , а „скакки“ материальных параметров на дефекте  $\Delta R$  — к величине  $K_u$  (за исключением  $dM_s = \Delta M_s/M_s$ ,  $dA = \Delta A/A$ ).

Из расчетов следует, что в нулевом поле  $0^\circ\text{ДГ}$  обоих видов существуют в определенных областях изменения параметров дефекта и материала [3,7]. Область их устойчивости ограничена двумя предельными значениями параметров: при одних  $0^\circ\text{ДГ}$  колапсируют, при других — расплываются (при этом  $\Delta_s \rightarrow \infty$ ,  $\varepsilon_s \rightarrow -\infty$ ,  $\theta_s \rightarrow 0, \pi$ , т. е. в магнетике имеет место СПФП).

„Включение“ внешнего поля с  $\mathbf{H} \parallel \mathbf{M}_0$  существенно сказывается на устойчивых состояниях  $0^\circ\text{ДГ}$  и, в частности, приводит к тому, что эти неоднородности, различающиеся направлением вектора  $\mathbf{M}_0$ , в доменах (знаки  $\pm$  в (2) и (3)) ведут себя не одинаковым образом. Так, например, те  $0^\circ\text{ДГ}$  (I), в которых магнитные моменты в доменах параллельны  $\mathbf{H}$  ( $\mathbf{H} \parallel [100]$ ), при увеличении  $h$  ( $h = HM_s/2K_u$ ) уменьшаются в размерах, а  $0^\circ\text{ДГ}$  (I), у которых вектор  $\mathbf{M}_0$  в доменах



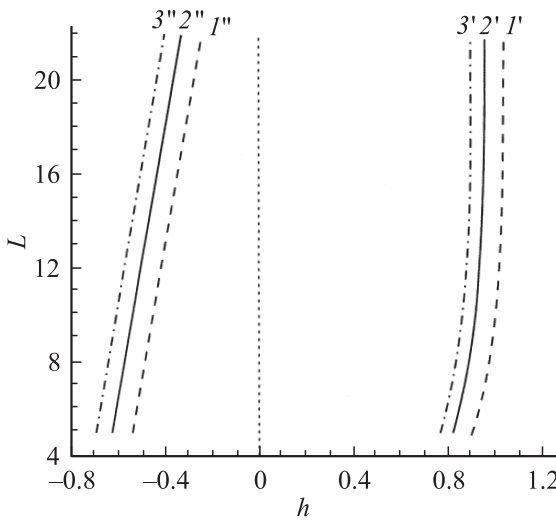
**Рис. 2.** Зависимости ширины  $\Delta_s$  (a) и амплитуды  $\theta_s$  (b)  $0^\circ\text{ДГ}$  (I) от внешнего магнитного поля при следующих значениях материальных параметров образца и дефекта:  $\chi_1 = 3$ ,  $\chi_r = 1.4$ ,  $Q = 3$ ,  $D = 10$ ,  $dA = 0.1$ ,  $dK_r = 0.3$ ,  $dK_1 = 0.5$ ,  $dM_s = 0.3$ ,  $L = 10$ .  $dK_u = -1$  (1),  $-1.5$  (2) и  $-2$  (3).

антипараллелен  $\mathbf{H}$ , увеличиваются в размерах (рис. 2,  $h < 0$ ). Такое „расщепление“  $0^\circ\text{ДГ}$  (I), отличающихся ориентацией вектора  $\mathbf{M}_0$  в доменах, в магнитном поле объясняется характером взаимодействия магнитных моментов с полем  $\mathbf{H}$ : в первом типе  $0^\circ\text{ДГ}$  (I) магнитные моменты либо сонаправлены с  $\mathbf{H}$  (в доменах), либо образуют острый угол с ним (в неоднородной части  $0^\circ\text{ДГ}$ ), а во втором типе  $0^\circ\text{ДГ}$  (I), наоборот, ( $\mathbf{H} \mathbf{M} < 0$ ). Такая энергетическая „выгодность“ или „невыгодность“ расположения магнитных моментов в соответствующих типах  $0^\circ\text{ДГ}$  (I) приводит к тому, что при дальнейшем увеличении  $h$   $0^\circ\text{ДГ}$  (I) с  $\mathbf{M}_0$ , направленным вдоль  $\mathbf{H}$ , колапсируют, а  $0^\circ\text{ДГ}$  (I) с  $\mathbf{M}_0 \uparrow \downarrow \mathbf{H}$  расплываются, причем по мере углубления „потенциальной ямы“ (при увеличении  $|dK_u|$ ) поле колапса  $0^\circ\text{ДГ}$  (I) первого типа увеличивается, а поле расплывания для второго типа

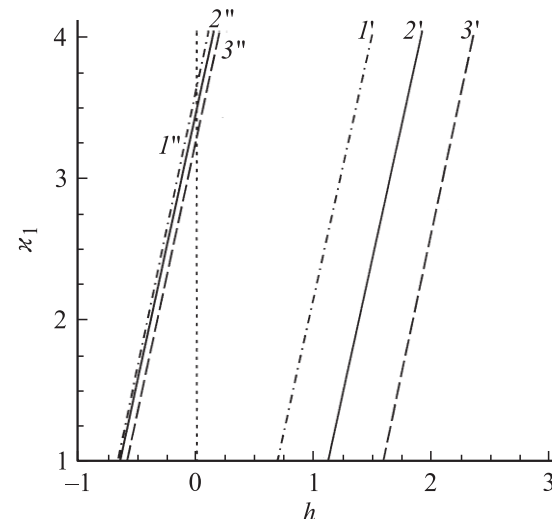
$0^\circ\text{ДГ}$  (I) практически не меняется (немного уменьшается).

Из расчетов следует, что структура и свойства  $0^\circ\text{ДГ}$  (I) наиболее „чувствительны“ к изменению параметров дефекта. Это относится не только к параметру  $dK_u$  (рис. 2), но и к  $dK_1$ ,  $dA$ ,  $dM_s$  и, в особенности, к ширине дефекта  $L$ : с увеличением  $L$  область устойчивости  $0^\circ\text{ДГ}$  (I) с  $\mathbf{M}_0 \uparrow\uparrow \mathbf{H}$  по полю увеличивается; следовательно, поле его коллапса также увеличивается, а для второго типа  $0^\circ\text{ДГ}$  (I) ситуация реализуется с точностью до наоборот.

Следует отметить, что аналогичное поведение в зависимости от приведенных выше параметров и поля ( $\mathbf{H} \parallel [011]$ ) наблюдается и у  $0^\circ\text{ДГ}$  (II), в частности от ширины дефекта (рис. 3). При этом необходимо отметить, что материальные параметры образца в меньшей степени оказывают влияние на поведение  $0^\circ\text{ДГ}$  обоих видов в магнитном поле. Исключение составляют параметр  $\chi_1$ , характеризующий степень влияния кубической и наведенной одноосной анизотропии на устойчивые состояния  $0^\circ\text{ДГ}$ , и параметр  $Q$ , определяющий вклад размагничивающих полей на эти состояния. Расчеты показывают [4], что в нулевом поле область устойчивости  $0^\circ\text{ДГ}$  (I) при  $Q \rightarrow \infty$  лежит в области  $4 < \chi_1 < 1 + \chi_r$ , которая соответствует области устойчивости фазы  $\mathbf{M}_0 \parallel [100]$  на фазовой диаграмме пластины (011) [10]. Однако при уменьшении фактора качества  $Q$  влияние размагничивающих полей возрастает и область устойчивости  $0^\circ\text{ДГ}$  (I) по  $\chi_1$  будет смещаться в сторону меньших его значений. Это вполне согласуется с фазовой диаграммой рассматриваемой пластины [11], если учесть вклад ее размагничивающих полей. При включении зеемановского взаимодействия с



**Рис. 3.** Диаграммы устойчивых состояний  $0^\circ\text{ДГ}$  (II) обоих типов в координатах  $L-h$  для различных  $Q$ . Кривая  $I'$  отвечает верхней границе устойчивости  $0^\circ\text{ДГ}$  (II) первого типа по  $h$  для  $Q = 4$ ,  $2'$  — для  $Q = 8$ ,  $3'$  — для  $Q = 20$ . Кривые  $I'-3'$  отвечают нижней границе устойчивости  $0^\circ\text{ДГ}$  (II) второго типа по  $h$  для соответствующих значений  $Q$ . Здесь  $dK_u = -1$ , остальные значения параметров  $R$  и  $\Delta R$  те же, что на рис. 2.



**Рис. 4.** Диаграмма устойчивых состояний  $0^\circ\text{ДГ}$  (II) обоих типов в координатах  $x_1-h$  для значений  $dK_u = -1.5$  ( $I', I''$ ),  $-2$  ( $2', 2''$ ) и  $-2.5$  ( $3', 3''$ ).  $Q = 5$ , остальные значения параметров  $R$  и  $\Delta R$ , а также обозначения кривых те же, что на рис. 2.

$\mathbf{H} \parallel [100]$  область устойчивости по  $x_1$  магнитной фазы с  $\mathbf{M}_0 \parallel [100]$  расширяется и также смещается в сторону меньших его значений [11]. С этими результатами, полученными для идеального неограниченного кубического ферромагнетика с наведенной вдоль [011] одноосной анизотропией, вполне согласуются полученные здесь результаты анализа влияния внешнего поля на область устойчивости  $0^\circ\text{ДГ}$  (I) в магнитном поле с  $\mathbf{H} \parallel [100]$ . Из расчетов следует, что область устойчивости  $0^\circ\text{ДГ}$  (I) по параметру  $x_1$  под действием магнитного поля также смещается в сторону его меньших значений. В то же время область устойчивости  $0^\circ\text{ДГ}$  (II) по параметру  $x_1$  смещается в сторону его больших значений (рис. 4). Данный результат объясняется тем, что с увеличением параметра  $x_1$  вклад кубической анизотропии (при  $K_u > 0$  легкими осями являются направления  $\langle 100 \rangle$ ) в устойчивые состояния данных неоднородностей возрастает по сравнению с наведенной одноосной (легкой осью является [011]). Причем, как видно из рис. 4, при  $x_1 \gtrsim 3.2-3.6$   $0^\circ\text{ДГ}$ , описываемые (3), в нулевом поле не существуют, в то время как при  $x_1 \lesssim 3.2-3.6$  они становятся уже устойчивыми образованиями, расщепляясь в магнитном поле на два типа  $0^\circ\text{ДГ}$  (II).

Можно отметить, что изменение фактора качества  $Q$  также не одинаково влияет на структуру и область устойчивости  $0^\circ\text{ДГ}$  разных видов [7]. Это обстоятельство связано с тем, что вклад размагничивающих полей, определяемый слагаемым (4), для  $0^\circ\text{ДГ}$  (I) является положительным, и поэтому для данного типа магнитной неоднородности увеличение  $Q$  ведет к уменьшению значения  $E_{ms}$  и, следовательно, к увеличению области его устойчивости. Для  $0^\circ\text{ДГ}$  (II) вклад размагничивающих полей отрицательный, поэтому при увеличении  $Q$  область его устойчивости будет уменьшаться (рис. 3).

Рассмотрим зависимость критического поля  $h_c$ , при котором  $0^\circ\text{ДГ}$  исчезает, от фактора качества, точнее, от  $Q^{-1}$  (рис. 5). Это поле представляет собой поле возникновения на дефекте зародышей перемагничивания и по смыслу соответствует коэрцитивной силе образца  $H_c$  [12].

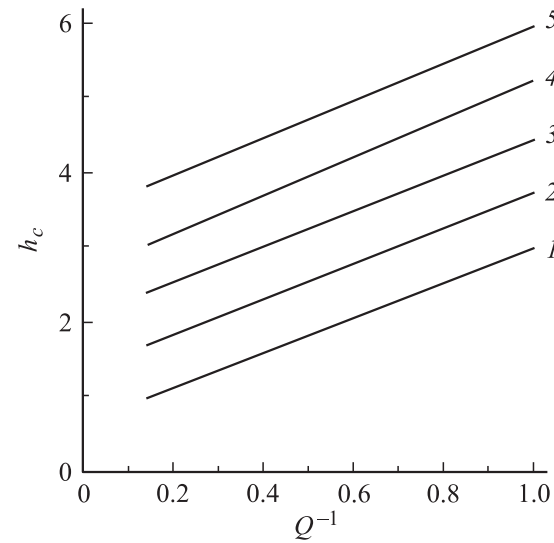
Расчеты показывают, что полученная зависимость (рис. 5) есть линейная функция величины  $Q^{-1}$ , которая после подстановки в нее явных выражений  $h_c$  и  $Q$  принимает вид

$$H_c = \alpha 2K_u/M_s + 4\pi\beta M_s, \quad (10)$$

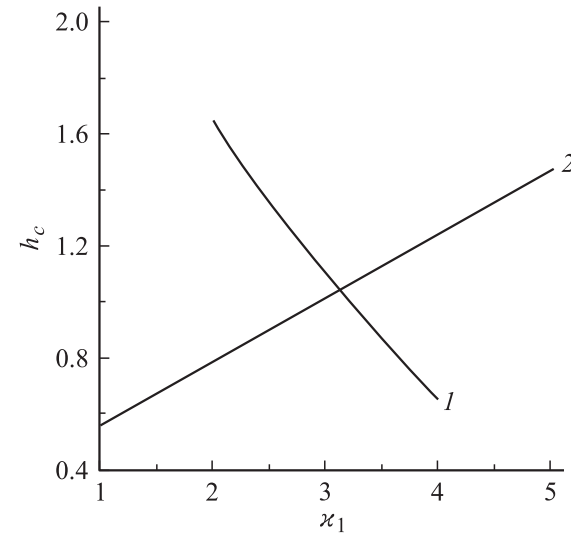
где  $\alpha$ ,  $\beta$  — некоторые эмпирические константы, которые могут зависеть от материальных параметров и характеристик дефекта. Впервые выражение для  $H_c$ , совпадающее с (10), было получено в теории перемагничивания, обусловленного механизмом когерентного вращения магнитных моментов [8]; из нее следовало, что  $\alpha = 1$ ,  $\beta = 1$ . В результате значения для  $H_c$ , вычисленные по формуле (10), на два-три порядка отличались от экспериментальных данных (парадокс Брауна [8]). Для объяснения такого расхождения было предложено учесть наличие дефектов, на которых могут зарождаться при полях  $H$ , близких к  $H_c$ , домены обратной намагниченности (см. [8]). В частности, в линейной теории неоднородного перемагничивания, разработанной в [12], было показано, что  $\beta = 1$ , а  $\alpha$  зависит от характеристик дефекта, причем  $\alpha \sim \Delta R$  и сложным образом зависит от размеров  $L$  (в одномерной модели  $\alpha \sim L^{-1}$ ). Полученные зависимости (в том числе и в усовершенствованной модели [13]) в какой-то мере позволили объяснить парадокс Брауна. Однако их существенным недостатком являлось пренебрежение размагничивающими полями образца. В модели же, рассмотренной в настоящей работе, удается более полно учесть магнитостатический фактор и тем самым расширить границы применимости формулы (10) для  $H_c$ . Так, из анализа области устойчивости  $0^\circ\text{ДГ}$  следует, что коэффициент  $\beta$  существенно зависит от характеристик дефекта; в частности,  $\beta$  увеличивается с возрастанием  $dM_s$  и  $L$  и практически не зависит от  $dK_u$  (рис. 5). В то же время расчеты показывают (рис. 5), что  $\alpha \sim dK_u$ , что согласуется с [12], а зависимость  $\alpha$  от  $L$  несколько иная:  $\alpha$  увеличивается с возрастанием  $L$ , асимптотически приближаясь (при  $L \rightarrow \infty$ ) к некоторому постоянному значению.

Следует отметить, что полученные зависимости одинаково выполняются для обоих видов  $0^\circ\text{ДГ}$ , но различаются при вариации параметров  $dK_1$ ,  $\chi_1$  и  $D$ . При увеличении  $dK_1$  ( $dK_1 > 0$ ) для  $0^\circ\text{ДГ}$  (I) оба параметра  $\alpha$  и  $\beta$  уменьшаются ( $H_c$  уменьшается), в то время как для  $0^\circ\text{ДГ}$  (II) параметр  $\alpha$  возрастает, а  $\beta$  остается неизменным ( $H_c$  увеличивается). Это связано с тем, что увеличение  $dK_1$  способствует усилению осей типа  $\langle 100 \rangle$  в неоднородной части  $0^\circ\text{ДГ}$  (I) и соответственно — ослаблению осей  $\langle 110 \rangle$ , в частности [011]. В этом случае размеры  $0^\circ\text{ДГ}$  (I) первого типа уменьшаются, а ее структура становится менее устойчивой, что в конечном счете

приводит к уменьшению величины  $H_c$ , необходимой для ее зарождения. Для  $0^\circ\text{ДГ}$  (II) с  $\mathbf{M}_0 \uparrow\uparrow \mathbf{H}$  эта зависимость становится противоположной. По этой же причине увеличение параметра  $\chi_1$  приводит к уменьшению величины  $H_c$  для  $0^\circ\text{ДГ}$  (I) и к ее возрастанию для  $0^\circ\text{ДГ}$  (II) (рис. 6). Учитывая, что  $0^\circ\text{ДГ}$  (II) является устойчивой ниже линии СПФП, на которую (как отмечалось ранее) влияют и размагничивающие поля  $Q$ , и внешнее поле  $\mathbf{H}$ , а  $0^\circ\text{ДГ}$  (I) — выше этой линии, можно утверждать, что  $H_c$  по мере приближения магнетика к точке СПФП увеличивается, достигая максимума в самой точке спиновой переориентации (согласно модели). Это нетривиальный результат, хотя, как следует из приведенного анализа, вполне объяснимый.



**Рис. 5.** Графики зависимости критического поля  $h_c$  от величины  $Q^{-1}$  при значениях  $dK_u = -1$  (1),  $-1.5$  (2),  $-2$  (3),  $-2.5$  (4) и  $-3$  (5). Остальные значения параметров  $R$  и  $\Delta R$  те же, что на рис. 2.



**Рис. 6.** Графики зависимости критического поля  $h_c$  от параметра  $\chi_1$  для случая  $dK_u = -1$ . Остальные значения параметров  $R$  и  $\Delta R$  те же, что на рис. 2. 1 —  $0^\circ\text{ДГ}$  (I), 2 —  $0^\circ\text{ДГ}$  (II).

Необходимо отметить также, что не все результаты, полученные в рассматриваемой модели, согласуются с экспериментальными данными и с другими теоретическими выкладками. Это касается зависимости  $H_c$  от  $L$ , а также наличия предельных размеров дефекта, при которых  $0^\circ\text{ДГ}$  не существуют [3,4] (на самом деле магнитные неоднородности на дефекте образуются, но с другой топологией). Такое несоответствие можно объяснить „жесткостью“ рассматриваемой модели, так как в основе модельного представления магнитных неоднородностей, локализованных на дефекте, лежит  $0^\circ\text{ДГ}$  с блоховской структурой, которая не может трансформироваться в другую структуру, гибко подстраиваясь в соответствии с действием магнитного поля. Тем не менее границы ее применимости можно значительно расширить, если рассмотреть  $0^\circ\text{ДГ}$  с квазиблоховской структурой, в которой  $\theta = \theta(y)$  и  $\varphi = \varphi(y)$  [14]. Последнее представляет более сложную задачу и требует отдельного рассмотрения.

В то же время из приведенных результатов следует, что  $0^\circ\text{ДГ}$  является вполне приемлемым модельным представлением зародышей перемагничивания, закрепляющихся на дефектах. Рассматриваемая модель позволяет не только получить конкретные характеристики материалов (например, коэрцитивную силу  $H_c$ ), но и изучить процесс перемагничивания образца, исследуя поведение магнитных неоднородностей в меняющихся магнитных полях. К тому же она обладает определенной „гибкостью“, которая позволяет ее усовершенствовать и тем самым расширить границы ее применимости, в том числе и для  $Q \lesssim 1$  и  $D \sim \Delta_0$ .

## Список литературы

- [1] С. Тикадзуми. Физика ферромагнетизма. Магнитные характеристики и практические применения. Мир, М. (1987). 419 с.
- [2] В.К. Власко-Власов, М.В. Инденбом. ЖЭТФ **86**, 1084 (1984).
- [3] Р.М. Вахитов, А.Р. Юмагузин. ФТТ **43**, 1, 65 (2001).
- [4] Р.М. Вахитов, Е.Р. Гареева, М.М. Вахитова. ФНТ **32**, 169 (2006).
- [5] В.А. Зайкова, И.Е. Старцева, Б.Н. Филиппов. Доменная структура и магнитные свойства электротехнических сталей. Наука, М. (1992). 272 с.
- [6] A. Mougin, C. Dufour, R. Dumensil, Ph. Mangin. Phys. Rev. B **62**, 9517 (2000).
- [7] Р.М. Вахитов, Е.Р. Гареева, М.М. Вахитова. Сб. тр. VII Междунар. семинара „Магнитные фазовые переходы“. Ин-т физики ДНЦ РАН, Махачкала (2007). 134 с.
- [8] У.Ф. Браун. Микромагнетизм. Наука, М. (1979). 160 с.
- [9] Д.Д. Мишин. Магнитные материалы. Высш. шк., М. (1991). 384 с.
- [10] Р.М. Вахитов. ФММ **89**, 16 (2000).
- [11] Р.М. Вахитов, В.В. Гриневич, М.М. Вахитова. ЖТФ **72**, 5, 42 (2002).
- [12] H. Kronmuller. Phys. Status Solidi B **144**, 385 (1987).
- [13] A. Sakuma, S. Tanigawa, M. Tokunaga. J. Magn. Magn. Mater. B **84**, 52 (1990).
- [14] Р.М. Вахитов, Е.Г. Шанина. ЖТФ **73**, 7, 67 (2003).